

I-129 円形に配置された鋼管パイアルの基礎の応力計算について

室蘭工業大学 正員 能町祐雄

" " 正員 松岡健一

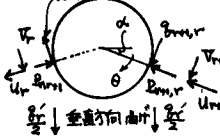
" " 学生員 ○沢田知之

1 まえがき

本研究は、钢管パイアルを円形に配置した基礎の応力解析について考察したものである。解析にあたっては、スパン方向にヒンデ結合されたパイアルが弾性床上にある場合を考え各々半径、水平方向の変位を垂直力、水平力及び振りモーメントさらに円形とすることにより生ずる各パイアルの変形力を考慮しヒンデ結合点での力のつり合いを満足するように誘導された微分差分方程式にフーリエ変換を用いて応力解析を進める。従来のシートパイアルや建造物の基礎工に替りこの種の構造物は剛性の大きいシートパイアル又は钢管矢板セル型ウェル等として橋梁等の基礎として最近用いられてきている。この研究は、これらの構造物の応力解析の手がかりを得る為に行なったものである。

2 スパン方向にヒンデ結合されスパン直角方向に円形面構造である場合の解析

今、スパン長 l 、パイアル数を n とし、自由端を $x=0$ とする。また荷重は、
 $x=0$ なる点にかかるものとする。図-①の如くパイアル $r, r+1$ に対して各々半径、水平方向の曲げ、振りに関する θ_r, θ_{r+1} 、および上で表わされる水平方向の変位 U_r, U_{r+1} を考慮することにより次の式が誘導される。



ここで

$$\frac{\theta_r}{2} \leftarrow \begin{array}{l} \text{垂直方向振り} \\ \text{→ 水平方向変位} \end{array} \quad \frac{\theta_{r+1}}{2} \leftarrow \begin{array}{l} \text{水平方向曲げ} \\ \text{→ 水平方向振り} \end{array}$$

$\alpha = \text{地盤反力係数}$

$EI = \text{管の曲げ剛性}$

$GJ = \text{管の振り剛性}$

$$EI' = \text{管の厚さ方向の曲げ剛性 } \alpha' = \frac{\pi}{2} - \alpha$$

$$K = zae$$

図-①

$$EI \left[\frac{\{V_{r+1}(x) + V_r(x)\} \cdot \cos\alpha}{2} - \frac{\{U_{r+1}(x) - U_r(x)\} \cdot \sin\alpha}{2} \right] = \theta_r' + \left[\frac{\{U_{r+1}(x) - U_r(x)\} \cdot \sin\alpha}{2} - \frac{\{V_{r+1}(x) + V_r(x)\} \cdot \cos\alpha}{2} \right] \cdot K \cos\alpha \quad ①$$

$$EI \cdot \left[\frac{\{V_{r+1}(x) - V_r(x)\} \cdot \sin\alpha}{2} + \frac{\{U_{r+1}(x) + U_r(x)\} \cdot \cos\alpha}{2} \right] = -P' \quad ② \quad (\text{水平方向地盤反力観})$$

$$GJ \cdot \frac{\{U_{r+1}(x) - U_r(x)\}}{2\alpha} = za \cdot \cos\alpha \cdot \theta_r' - P' \cdot a \cdot \sin\alpha \quad ③$$

$$\{V_{r+1}(x) + V_r(x)\} \cdot \sin\alpha + \{U_{r+1}(x) - U_r(x)\} \cdot \cos\alpha = E \quad ④$$

また次の如くの関係がある。

$$\theta_{r+1,r} \cdot \cos\alpha - P_{r+1,r} \cdot \sin\alpha = \frac{\theta_r'}{2} + \theta_r'' \quad ⑤ \quad \theta_{r+1,r} \cdot \sin\alpha + P_{r+1,r} \cdot \cos\alpha = P'' - \frac{P'}{2} \quad ⑦$$

$$\theta_{r,r+1} \cdot \cos\alpha + P_{r,r+1} \cdot \sin\alpha = \theta_r'' - \frac{\theta_r'}{2} \quad ⑥ \quad \theta_{r,r+1} \cdot \sin\alpha - P_{r,r+1} \cdot \cos\alpha = -P'' - \frac{P'}{2} \quad ⑧$$

次に節点の拘り合条件より

$$g_{r,r} = g_{r,r} \quad \text{---} \quad \text{④} \quad p_{r,r+1} = p_{r,r+1} \quad \text{---} \quad \text{⑤}$$

又④式における変形量を求めるところの如く示される。

$$\varepsilon = 2 \cdot \frac{dE}{dP} = -\frac{\alpha P'}{EI^2} \left[2\pi F_1^2 + 2\pi F_1 \cdot F_3 + \frac{3}{4}\pi F_3^2 - 2\alpha F_1 \{ \cos d'(\pi-d') + \sin d' \} - \alpha F_1 \{ \cos d'(\pi-d') + \frac{1}{8} \sin 2d' + \sin d' + \frac{1}{2}(\pi-d') \} + 2\alpha^2 \{ \cos d'(\pi-d') + \frac{5}{4} \sin d' + \frac{\pi-d'}{2} \} \right]$$

$= -\varepsilon$,

$$F_1 = \left[\left(\frac{1}{8} \frac{\pi a}{EI} \right)^2 \cdot \alpha \{ (1 + \cos d') (\frac{3}{2}\pi - \frac{3}{4}d' - \sin d') - \cos d'(\pi-d') + \frac{\pi-d'}{2} - \frac{1}{4} \sin 2d' \} - \left(\frac{\pi a}{8EI} \right)^2 \cdot \alpha (1 + \cos d') \right] \\ / \left\{ \left(\frac{3}{8} \frac{\pi a}{EI} \right)^2 - \left(\frac{\pi a}{8EI} \right)^2 \pi d' \right\}$$

$$F_2 = \left[\left(\frac{\pi a}{8EI} \right)^2 \cdot \alpha \cdot \pi d' (1 + \cos d') - \frac{\pi}{16} \left(\frac{\pi a}{EI} \right)^2 \cdot \alpha \cdot \{ (1 + \cos d') (\frac{3}{2}\pi - \frac{3}{4}d' - \sin d') - \cos d'(\pi-d') + \frac{\pi-d'}{2} \frac{\sin d'}{4} \} \right] \\ / \left\{ \left(\frac{3}{8} \frac{\pi a}{EI} \right)^2 - \left(\frac{\pi a}{8EI} \right)^2 \pi d' \right\}$$

$$F_3 = \alpha \cdot (1 + \cos d') + F_2 - F_1$$

よって、①の③④の各式と⑤⑥⑦⑧の各式より、 $p_{r,r+1}$, $g_{r,r+1}$, $p_{r,r+1}$, $p_{r,r+1}$ を求める節点の拘り合い条件式④⑤に代入することにより2つの微分差分方程式を得る。これを以て、

$$U_r(x) = \sum_{i=1}^n U_i(x) \sin \frac{2\pi i}{n} r, \quad V_r(x) = \sum_{i=1}^n V_i(x) \cos \frac{2\pi i}{n} r \text{ とき、} \text{ これらに Fourier 变換を行なって、} \\ \tilde{U}_i(x) = \int_0^L U_i(x) \sin \frac{m\pi}{L} x dx, \quad \tilde{V}_i(x) = \int_0^L V_i(x) \cos \frac{m\pi}{L} x dx \text{ おくと次の2式が導かれる。}$$

$$\begin{aligned} & \left[-\frac{GJ}{4a^2} \tan d \sin \frac{2\pi i}{n} \left(\frac{m\pi}{L} \right)^2 + \frac{EI}{4} \{ \tan d \sin d + 2 \sin d \cos d \} \cdot \sin \frac{2\pi i}{n} \left(\frac{m\pi}{L} \right) + \left\{ \frac{K}{4} \sin d \cos d - \frac{EI'}{AA} \sin d \cos d \right\} \sin \frac{2\pi i}{n} \right] \cdot \tilde{V}_i(x) \\ & + \left[-\frac{EI}{4} \{ (\cos \frac{2\pi i}{n} + 1) - \sin^2 d (\cos \frac{2\pi i}{n} - 1) \} \left(\frac{m\pi}{L} \right)^2 + \left\{ \frac{K}{4} \sin d \cos d + \frac{EI'}{AA} \cos d \right\} (\cos \frac{2\pi i}{n} - 1) \right] \cdot \tilde{U}_i(x) \\ & + \left[-\frac{GJ}{4a^2} \tan d \sin \frac{2\pi i}{n} (-1)^m \left(\frac{m\pi}{L} \right) + \frac{EI}{4} \{ \tan d \sin d + 2 \sin d \cos d \} \cdot \sin \frac{2\pi i}{n} (-1)^m \left(\frac{m\pi}{L} \right)^2 \right] \cdot \tilde{V}_i(x) \\ & + \left[\frac{GJ}{4a^2} \tan d \sin \frac{2\pi i}{n} \left(\frac{m\pi}{L} \right) - \frac{EI}{4} \{ \tan d \sin d + 2 \sin d \cos d \} \cdot \sin \frac{2\pi i}{n} \left(\frac{m\pi}{L} \right)^2 \right] \cdot \tilde{V}_i(0) \\ & + \left[-\frac{EI}{4} \{ \tan d \sin d + 2 \sin d \cos d \} \cdot \sin \frac{2\pi i}{n} (-1)^m \left(\frac{m\pi}{L} \right) \right] \cdot \tilde{V}_i(L) + \left[\frac{EI}{4} \{ \tan d \sin d + 2 \sin d \cos d \} \cdot \sin \frac{2\pi i}{n} \left(\frac{m\pi}{L} \right) \right] \cdot \tilde{V}_i(0) \\ & + \left[-\frac{EI}{4} \{ (\cos \frac{2\pi i}{n} + 1) - \sin^2 d (\cos \frac{2\pi i}{n} - 1) \} (-1)^m \left(\frac{m\pi}{L} \right)^2 \right] \cdot \tilde{U}_i(x) + \left[\frac{EI}{4} \{ (\cos \frac{2\pi i}{n} + 1) - \sin^2 d (\cos \frac{2\pi i}{n} - 1) \} \left(\frac{m\pi}{L} \right)^2 \right] \cdot \tilde{U}_i(0) \\ & + \left[\frac{EI}{4} \{ (\cos \frac{2\pi i}{n} + 1) - \sin^2 d (\cos \frac{2\pi i}{n} - 1) \} (-1)^m \left(\frac{m\pi}{L} \right) \right] \cdot \tilde{U}_i(L) + \left[-\frac{EI}{4} \{ (\cos \frac{2\pi i}{n} + 1) - \sin^2 d (\cos \frac{2\pi i}{n} - 1) \} \left(\frac{m\pi}{L} \right) \right] \cdot \tilde{U}_i(0) \end{aligned}$$

$$= 0 \quad \text{---} \quad \text{⑪}$$

$$\begin{aligned}
& \left[\frac{EI}{4a^2} (\cos \frac{2\pi i}{n} - 1) \cdot \left(\frac{m\pi}{l} \right)^4 - \frac{EI}{4} (\cos \frac{2\pi i}{n} + 1) \cdot \cos^2 \left(\frac{m\pi}{l} \right)^2 - (\cos \frac{2\pi i}{n} + 1) \left(\frac{K}{4} \cot \alpha + \frac{EI'}{AA} \sin^2 \alpha \right) \right] \cdot \ddot{V}_i(x) \\
& + \left[\frac{EI}{4} \sin \frac{2\pi i}{n} \cdot \sin \alpha \cdot \cot \left(\frac{m\pi}{l} \right)^2 + \left(\frac{K}{4} \cdot \cot \alpha - \frac{EI'}{AA} \right) \cdot \sin \frac{2\pi i}{n} \cdot \sin \alpha \cdot \cot \alpha \right] \cdot \ddot{U}_i(x) + \left[\frac{EI}{4a^2} (\cos \frac{2\pi i}{n} - 1) (-1)^m \left(\frac{m\pi}{l} \right)^3 \right] \cdot \ddot{V}_i(l) \\
& - \frac{EI}{4} (\cos \frac{2\pi i}{n} + 1) \cdot \cos^2 \alpha \cdot (-1)^m \left(\frac{m\pi}{l} \right)^3 \cdot \ddot{V}_i(0) + \left[-\frac{EI}{4a^2} (\cos \frac{2\pi i}{n} - 1) \left(\frac{m\pi}{l} \right)^2 + \frac{EI}{4} (\cos \frac{2\pi i}{n} + 1) \cdot \cos^2 \alpha \cdot \left(\frac{m\pi}{l} \right)^3 \right] \cdot \ddot{V}_i(0) \\
& + \left[\frac{EI}{4} (\cos \frac{2\pi i}{n} + 1) \cos^2 \alpha \cdot (-1)^m \left(\frac{m\pi}{l} \right)^3 \right] \cdot \ddot{V}_i(l) + \left[-\frac{EI}{4} (\cos \frac{2\pi i}{n} + 1) \cdot \cos^2 \alpha \cdot \left(\frac{m\pi}{l} \right)^3 \right] \cdot \ddot{V}_i(0) \\
& + \left[-\frac{EI}{4} \sin \frac{2\pi i}{n} \cdot \sin \alpha \cdot \cot \alpha \cdot (-1)^m \left(\frac{m\pi}{l} \right)^3 \right] \cdot \ddot{U}_i(l) + \left[\frac{EI}{4} \sin \frac{2\pi i}{n} \cdot \sin \alpha \cdot \cot \alpha \cdot \left(\frac{m\pi}{l} \right)^3 \right] \cdot \ddot{U}_i(0) \\
& + \left[\frac{EI}{4} \sin \frac{2\pi i}{n} \cdot \sin \alpha \cdot \cot \alpha \cdot (-1)^m \left(\frac{m\pi}{l} \right)^3 \right] \cdot U_i(l) + \left[-\frac{EI}{4} \sin \frac{2\pi i}{n} \cdot \sin \alpha \cdot \cot \alpha \cdot \left(\frac{m\pi}{l} \right)^3 \right] \cdot U_i(0) \\
= 0
\end{aligned}$$

(13)

よって (1) (2) 式を $\ddot{U}_i(x)$, $\ddot{V}_i(x)$ の $2\pi l$ 次連立方程式とし, 境界条件式および次に示す様なフーリエ逆変換公式を用いてたわみを求めることができる。

$$U_i(x) = \frac{2}{l} \sum_{m=1}^{\infty} \widehat{U}_i(m) \sin \frac{m\pi}{l} x \quad (13) \quad V_i(x) = \frac{2}{l} \sum_{m=1}^{\infty} \widehat{V}_i(m) \sin \frac{m\pi}{l} x \quad (14)$$

又, (1) (2) 式中ににおける $U_i(l)$, $V_i(0)$, $\ddot{V}_i(l)$, $\ddot{U}_i(0)$ などは, 境界条件を満足する定数である。

次に 境界条件として,

$$x = 0 \text{ 端が自由端の場合} \quad U_i(0) = V_i(0) = 0 \quad (15) \quad \ddot{U}_i(0) = \ddot{V}_i(0) = 0 \quad (16)$$

$$\frac{EI}{2} \cot \alpha (1 + \cos \frac{2\pi i}{n}) \ddot{V}_i(0) + EI' \sin \alpha \cdot \sin \frac{2\pi i}{n} \cdot \ddot{U}_i(0) - \frac{GJ}{2a} (1 - \cos \frac{2\pi i}{n}) \dot{V}_i(0) + P_r = 0 \quad (17)$$

$$\frac{EI}{2} \sin \alpha \cdot \sin \frac{2\pi i}{n} \cdot \ddot{V}_i(0) - \frac{EI}{2} \cos \alpha \cdot \cos \frac{2\pi i}{n} \cdot \ddot{U}_i(0) + \frac{EI}{AA} \{ 2(1 - \cos \frac{2\pi i}{n}) \cot \alpha \cdot U_i(0) + 2 \sin \frac{2\pi i}{n} \cdot \sin \alpha \} \cdot V_i(0) = 0$$

$$AA = \varepsilon \cdot \frac{EI'}{E''} \quad (18)$$

$x = l$ 端が 固定端の場合

$$U_i(l) = V_i(l) = 0 \quad (19) \quad \ddot{U}_i(l) = \ddot{V}_i(l) = 0 \quad (20)$$

よって $U_i(0)$, $V_i(0)$, $\ddot{U}_i(l)$, $\ddot{V}_i(l)$ を 境界条件 (17) ~ (20) を満足するように定めると (13) (14) の各式より各々半径, 水平方向のたわみ $U_i(x)$, $V_i(x)$ が得られる。

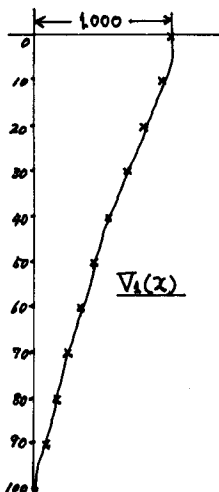
次に $-$ 端 $x = l$ においてヒンデ, 他端 $x = 0$ で固定であるか, 単位長さの水平変位 $U(0) = 1$, $V(0) = 1$ を与える場合を考えると, $\ddot{U}_i(l) = 0$, $\ddot{V}_i(l) = 0$ であり, $i = 1$ であることを考慮して (17) (18) 式にこれら の境界条件を代入して $U_i(x)$, $V_i(x)$ を求めることができます。ここで $\ddot{U}_1(0)$, $\ddot{V}_1(0)$ は, $\dot{U}_1(0) = 0$, $\dot{V}_1(0) = 0$ である条件を満足するように定める。

3. 数値計算例

今、 $n=6$, $L=100\text{cm}$, $A=2\text{cm}^2$, $t_k=1.0 \text{ kg/cm}^3$, $E=21 \times 10^6 \text{ kg/cm}^2$, $G=8.1 \times 10^5 \text{ kg/cm}^2$, $I=4.233398 \text{ cm}^4$, $J=8.670796 \text{ cm}^4$, $I'=0.000667 \text{ cm}^4$, のものについて、 $x=L$ 端でヒンチ、 $x=0$ 端で固定であるが、水平変位 $U(0)=1$, $V(0)=1$, を与えるもののたわみ図、および x 軸に対するモーメント図を下に示す。(図1~4)

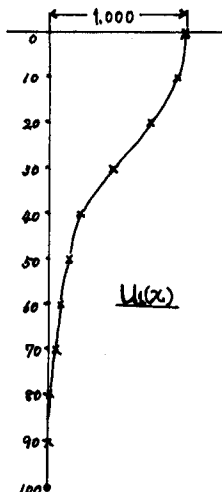
(図-1)

たわみ図 $V_1(x)$



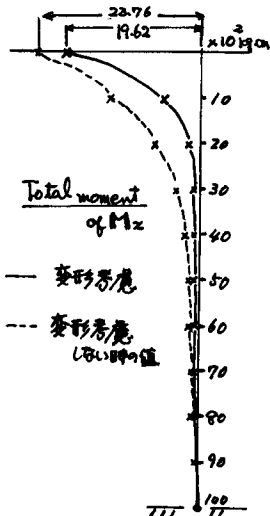
(図-2)

たわみ図 $U_1(x)$



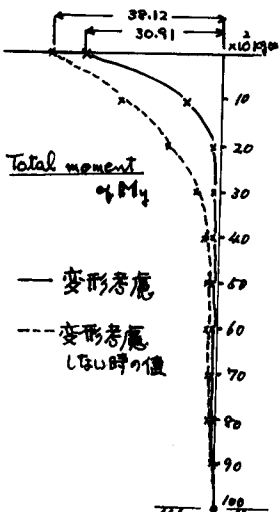
(図-3)

モーメント図 $M_1(x)$



(図-4)

モーメント図 $M_1(x)$



参考文献

S.G. Nonachi: A Note on Finite Fourier Transforms
Concerning Finite Integration

(The Transcript from the memories of the Mororan)
(Institute of Technology, Vol. 5, No. 2)